

# تلفیق کامل GPS و INS و بهبود آن با فیلتر کالمن تطبیقی فازی

رمضان هاونگی<sup>۱</sup>، محمد قشنه لب<sup>۲\*</sup>، حبیب قنبر پور اصل<sup>۳</sup>

۱- فارغ التحصیل کارشناسی ارشد مهندسی کنترل، دانشکده مهندسی برق، دانشگاه صنعتی خواجه نصیرالدین طوسی

۲- استادیار گروه مهندسی کنترل، دانشکده مهندسی برق، دانشگاه صنعتی خواجه نصیرالدین طوسی

۳- دانشجوی دکتری مهندسی هوافضا، دانشکده هوافضا، دانشگاه صنعتی شریف

\*تهران صندوق پستی ۳۴۷۱-۱۶۷۵

2-teshnehlab@eetd.kntu.ac.ir

(دریافت مقاله: اردیبهشت ۱۳۸۲، پذیرش مقاله: تیر ۱۳۸۳)

**چکیده**- خطای سیستم ناوبری اینرسی با گذشت زمان افزایش می‌یابد، در نتیجه برای دستیابی به دقت بالاتر مخصوصاً در ناوبری‌های طولانی مدت، به سیستم‌های کمکی نیاز است. سیستم جهانی تعیین موقعیت با توجه به خواص مکمل خود با سیستم ناوبری اینرسی، مناسب‌ترین سیستم کمکی محسوب می‌شود. در این مقاله پس از شیوه سازی GPS و INS، تلفیق کامل آنها بررسی و شیوه‌سازی می‌شود. در ادامه بعد از مرور روش‌های تطبیق فیلتر کالمن، نوعی فیلتر کالمن تطبیقی فازی برای تلفیق کامل GPS و INS ارائه شده که در آن، تطبیق با تنظیم تطبیقی ماتریس کوواریانس نویز اندازه‌گیری  $R$  و نویز پروسه  $Q$  توسط سیستم فازی انجام می‌شود. تنظیم تطبیقی به وسیله سیستم فازی و با به کارگیری روش تطبیق کوواریانس<sup>۱</sup> انجام می‌شود. نتایج نشان می‌دهد که تلفیق تطبیقی فازی GPS و INS با تنظیم تطبیقی ماتریسهای  $Q$  یا  $R$  عملکرد بهتری نسبت به تلفیق معمولی دارد که در آن ماتریسهای  $Q$  و  $R$  یا هر دو ثابتند.

**کلید واژگان:** INS، GPS، تلفیق کامل، فیلتر کالمن، فیلتر کالمن تطبیقی فازی.

یک موشک انجام شده است. در [۲] تلفیق متوالی بهینه GPS و INS با معادلات حالت مختلف بررسی شده است. در [۳] نوعی روش جدید تشخیص خرابی<sup>۱</sup> در تلفیق کامل GPS و INS بررسی شده است. در [۴] تلفیق کامل GPS و INS با دیتای واقعی GPS و INS انجام شده است. در [۵] پیاده‌سازی سخت‌افزاری سیستم تلفیق کامل GPS و INS بر روی موشک EX-171 انجام شده است. در [۶] یک مدل کاهش مرتبه یافته برای تلفیق کامل GPS و INS ارائه شده است. در [۷] دو روش تلفیق کامل و

## ۱- مقدمه

سیستم ناوبری اینرسی (INS) با توجه به عدم ارتباط با دنیای خارج، مهمترین سیستم ناوبری بویژه در صنایع نظامی است. با توجه به اینکه خطای این سیستم با گذشت زمان افزایش می‌یابد، بنابراین به یک سیستم کمکی نیاز است که مهمترین سیستم کمکی برای بهبود عملکرد آن سیستم GPS است. محققان زیادی در زمینه تلفیق GPS و INS کار کرده‌اند که فعالیت آنها را در این زمینه به طور کلی به دو دسته، تلفیق کامل و تلفیق متوالی می‌توان تقسیم کرد. به عنوان مثال در [۱] پیاده‌سازی سخت‌افزاری سیستم تلفیق متوالی GPS و INS بر روی

1. Covariance-Matching  
2. Failure Detection

افمری(Ephemeris) موجود در پیام‌های ناوبری GPS به دست می‌آید - و نیز موقعیت به دست آمده برای متحرک توسط INS، محاسبه می‌شود [۱۲].

با فرض اینکه نویز شتاب سنج‌ها و ژیروسکوپ‌ها سفید باشد معادلات خطی سازی سیستم ناوبری اینرسی بدون صفحه پایدار در دستگاه NED به صورت زیر مدل می‌شود [۹، ۱۲]:

$$\delta\ddot{x} = F(t)\delta\dot{x} + G(t)\delta w \quad (1)$$

که  $\delta\ddot{x}$  شامل بردار خطای موقعیت، بردار خطای سرعت و بردار خطای موقعیت دورانی است. بردار  $\delta w$  نیز منابع اصلی خطأ، یعنی خطای ژیروسکوپ‌ها و شتاب‌سنج‌ها را در بر خواهد داشت. خطای بایاس و لغزش ساعت گیرنده به صورت زیر مدل شده است [۱۰، ۳]:

$$\begin{aligned} \delta\dot{b} &= \delta n + w_b \\ \delta\ddot{n} &= w_n \end{aligned} \quad (2)$$

در این صورت مدل سیستم تلفیق کامل GPS و INS به صورت زیر است [۱۰]:

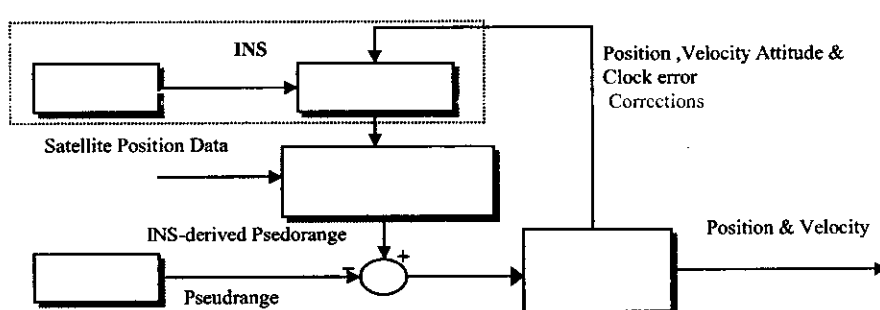
$$\begin{bmatrix} \delta\ddot{x}_{INS} \\ \delta\dot{b} \\ \delta\ddot{n} \end{bmatrix} = \begin{bmatrix} F_{INS} & & \\ & 0 & 1 \\ & 0 & 0 \end{bmatrix} \begin{bmatrix} \delta\ddot{x}_{GPS1} \\ x_{GPS1} \\ x_{GPS1} \end{bmatrix} + G_c \begin{bmatrix} w_{INS} \\ w_b \\ w_n \end{bmatrix}$$

$$G_c = \begin{bmatrix} G & 0 & 0 \\ 0_{9 \times 6} & 1 & 0 \\ 0_{9 \times 6} & 0 & 0 \end{bmatrix} \quad (3)$$

متوالی با یکدیگر مقایسه شده است. در [۸] پیاده‌سازی سخت‌افزاری تلفیق کامل برای ناوبری اتومبیل بررسی شده است. در [۹] نوعی فیلتر مقاوم برای تلفیق کامل GPS و INS ارائه شده است. به طور کلی مسئله دستیابی به عملکرد بهتر تلفیق را به دو بخش کلی، مدل‌سازی دقیق‌تر سیستم تلفیق و بهینه‌سازی فیلتر تلفیق می‌توان تقسیم کرد. بیشتر کارهای انجام شده، در زمینه بهینه‌سازی فیلتر تلفیق انجام شده، به عنوان مثال در [۱۰] تلفیق تطبیقی کامل بررسی شده است. در [۱۱] فیلتر کالمن تطبیقی با تنظیم ماتریس‌های نویز پروسه Q و/یا ماتریس نویز اندازه‌گیری R برای تلفیق GPS و INS برای ناوبری موشک هوا به زمین شبیه‌سازی شده و در ادامه فیلتر کالمن تطبیقی فازی برای بهبود عملکرد تلفیق کامل GPS و INS پیشنهاد شده است.

## ۲- تلفیق کامل GPS و INS

در این روش، تلفیق در سطح اندازه‌گیریهای خام GPS انجام می‌شود. در واقع در این روش تفاضل بردار شبه فاصله اندازه‌گیری شده توسط GPS و بردار شبه فاصله محاسبه شده توسط INS مطابق شکل ۱ به فیلتر کالمن وارد می‌شوند. شبه فاصله محاسبه شده توسط INS با داشتن موقعیت ماهواره‌های داخل دید - که از اطلاعات



شکل ۱ طرح‌واره تلفیق کامل GPS و INS

- ۱- جبران‌سازی خطای GPS
- ۲- تصحیح ماتریس دوران از دستگاه بدنه به دستگاه ناوبری
- ۳- تصحیح موقعیت و سرعت

### ۳- بیان مسئله تطبیق و لزوم آن

مسئله دستیابی به عملکرد بهتر سیستم تلفیق INS و GPS را می‌توان به دو بخش عمده زیر تقسیم کرد:

**الف- پیبود مدل‌سازی سیستم تلفیق GPS و INS**  
که عبارت است از مدل‌سازی بهتر خطای طوری که سیستم تلفیق GPS و INS را با دقت بیشتری توصیف کند. در واقع در طراحی فیلتر کالمن لازم است دینامیک‌های پروسه کاملاً معلوم باشد. انحراف مدل در نظر گرفته شده در فیلتر کالمن با مدل واقعی سیستم، موجب انحراف فیلتر از حالت بهینه خواهد شد و علاوه بر این، حضور مدهای ناپایدار مدل نشده، می‌تواند اساساً به ناپایداری فیلتر منجر شود.

**ب- پیبود مسئله تخمین**  
معادلات دیفرانسیل زمان گسته سیستم تلفیق GPS و INS را در نظر بگیرید:

$$\begin{aligned} X_{k+1} &= F_k X_k + W_k \\ Z_k &= H_k X_k + V_k \end{aligned} \quad (9)$$

که  $x_k$  بردار حالت  $n \times 1$ ،  $F_k$  ماتریس انتقال حالت  $n \times n$ ،  $Z_k$  بردار نویز سفید پروسه  $q \times 1$  و  $H_k$  بردار اندازه‌گیری  $r \times n$  ماتریس  $V_k$  بردار نویز اندازه‌گیری  $r \times 1$  است. از طرفی:

$$E\{W_k W_k^T\} = Q_k \quad E\{V_k V_k^T\} = R_k \quad (10)$$

که  $Q_k$  و  $R_k$  ماتریسهای مثبت معین هستند با فرض اینکه ماتریسهای  $Q_k$  و  $R_k$  کاملاً معلوم باشند الگوریتم فیلتر کالمن به صورت زیر است:

$$\hat{X}_{k+1}^- = F_k \hat{X}_k^-$$

در صورتی که شبکه‌فاصله اندازه‌گیری شده توسط  $\rho_i$  و شبکه‌فاصله اندازه‌گیری شده توسط GPS،  $\rho_j$  باشد در این صورت معادله اندازه‌گیری به شکل زیر است:

$$Z\rho_j(t) = \rho_j - \rho_i \quad (4)$$

که  $Z\rho$  تفاضل بین شبکه‌فاصله اندازه‌گیری شده توسط GPS و INS است [۹].

که:

$$\rho_j = \sqrt{(x - x_{sj})^2 + (y - y_{sj})^2 + (z - z_{sj})^2} + \delta\rho_j \quad (5)$$

$(x, y, z)$  موقعیت واقعی موشک در دستگاه ECEF و  $(x_{sj}, y_{sj}, z_{sj})$  موقعیت ماهواره  $\text{Zam}$  در دستگاه ECEF است. با فرض اینکه  $(x_I, y_I, z_I)$  خروجی موقعیت INS در دستگاه ECEF باشد آنگاه:

$$\begin{aligned} x_I &= x + \delta x_I \\ y_I &= y + \delta y_I \\ z_I &= z + \delta z_I \end{aligned} \quad (6)$$

که  $(x_I, y_I, z_I)$  خطای موقعیت INS است. در این حالت  $\rho_I$  به صورت زیر است [۱۰، ۹]:

$$\rho_I = \sqrt{(x_I - x_{sj})^2 + (y_I - y_{sj})^2 + (z_I - z_{sj})^2} \quad (7)$$

که در معادله بالا INS، موقعیت ماهواره‌ها را با استفاده از اطلاعات افمری موجود در پیام‌های ناوبری محاسبه می‌کند. در واقع خروجی IMU همراه با اطلاعات افمری توسط INS پردازش شده و شبکه‌فاصله از ماهواره‌های موجود در دید محاسبه می‌شود. برای به کار بردن این بردار اندازه‌گیری شده در فیلتر کالمن، باید این معادله غیرخطی اندازه‌گیری، خطی شود تا ماتریس اندازه‌گیری به دست آورده شود که شکل خطی شده معادله اندازه‌گیری به شکل زیر است:

$$\delta z(t) = H(t)x(t) + v(t) \quad (8)$$

در معامله اندازه‌گیری،  $v(t)$  نویز GPS است که به صورت نویز سفید مدل می‌شود. همچنین اندازه‌گیری با نرخ نمونه‌برداری یک بار در ثانیه انجام می‌شود. به ازای هر اندازه‌گیری تصحیحات زیر در فیلتر تلفیق انجام می‌شود:

که اطلاع ناکافی از مشخصات پیشین، دقت تخمین‌های فیلتر را کاهش می‌دهد یا سبب ایجاد بایاس در تخمین‌ها می‌شود. بعلاوه اطلاعات از پیش دانسته غلط ممکن است سبب واگرایی فیلتر شود [۱۸].

همچنین اطلاع ناکافی از مشخصات آماری پیشین فیلتر در بسیاری از حالات سبب تخمین نامناسب حالت‌هایی می‌شود که مشاهده‌پذیری ضعیفی دارد. در تلقیق GPS و INS مولفه‌های بایاس شتاب سنج‌ها و ژیروسکوپ‌ها و بایاس و دریفت ساعت گیرنده، چنین هستند. از آنجا که تخمین این مولفه‌ها تأثیر مستقیم بر روی تخمین مولفه‌های مهم فیلتر (خطای موقعیت‌ها، خطای سرعت‌ها و موقعیت‌های دورانی) از طریق کوپل اثراتشان دارند، این مسأله مهم است. از این رو می‌توان استدلال کرد که فیلتر کالمن ثابت طراحی شده، به وسیله روش‌های سنتی نواقصی است [۱۲].

از این دیدگاه می‌توان انتظار داشت که با تلقیق تطبیقی GPS و INS به عملکرد بهتری برسیم و همچنین از واگرایی فیلتر جلوگیری خواهد شد. منظور از تطبیق، تنظیم بی‌درنگ ماتریسهای Q و R فیلتر کالمن است. مهمترین امتیاز تلقیق تطبیقی، اعتماد ضعیفتر آن به اطلاعات آماری از پیش دانسته است. بنابراین فیلتر کالمن تطبیقی مشکل ناکامل بودن اطلاعات پیشین را جبران کرده و سبب بهبود عملکرد فیلتر ثابت (غیر تطبیقی) می‌شود. در این صورت آگاهی از اطلاعات پیشین به دلیل تطبیق ماتریس کوواریانس نویز پرسه Q و نویز اندازه‌گیری R در درجه دوم اهمیت دارد. از زمان توسعه فیلتر کالمن روش‌های تطبیقی مختلفی ارائه شده که به طور کلی آنها را به دو دسته کلی زیر می‌توان تقسیم کرد [۱۲، ۱۸، ۱۹]:

- ۱ (MMAE) تخمین تطبیقی مبتنی بر چند مدل<sup>۴</sup>
- ۲ (IAE) تخمین تطبیقی مبتنی بر ابداع<sup>۵</sup>

$$\begin{aligned} P_{k+1}^- &= F_k P_k F_k^T + Q_k \\ K_k &= P_k^- H_k^T \left[ H_k P_k^- H_k^T + R_k \right]^{-1} \\ \hat{X}_k &= \hat{X}_k^- + K_k [Z_k - H_k \hat{X}_k^-] \\ P_k &= [I - K_k H] P_k^- \end{aligned} \quad (11)$$

در معادلات بالا  $\hat{X}_k$  تخمین بردار حالت سیستم  $X_k$  ماتریس کوواریانس خطای تخمین حالت سیستم است که به صورت زیر تعریف می‌شود:

$$\begin{aligned} P_k &= E[(X_k - \hat{X}_k)(X_k - \hat{X}_k)^T] \quad (12) \\ \text{باقیمانده}^1 \text{ یا دنباله ابداع}^2 &\text{ به صورت زیر تعریف می‌شوند} \\ : [14, 13] & \end{aligned}$$

$$r_k = Z_k - H_k \hat{X}_k^- \quad (13)$$

که در واقع تفاضل بین خروجی واقعی و خروجی تخمین زده شده است. در کاربردهای عملی از باقیمانده‌ها به منظور آشکارسازی خرابی<sup>۳</sup> سنورها یا برای چک کردن دیتای اندازه‌گیری استفاده می‌شود. از طریق باقیمانده‌ها اطلاعات قابل دسترس اضافی را برای فیلتر در هر اندازه‌گیری ارائه می‌دهند و عامل مهمی برای پردازش عملکرد فیلتر کالمن هستند. در صورتی که فیلتر کالمن، بهینه عمل کند دنباله ابداع، نویزی سفید با میانگین صفر خواهد بود [۱۵، ۱۶].

همانطور که از معادلات بالا ملاحظه می‌شود الگوریتم فیلتر کالمن مبتنی بر این فرض است که اطلاعات از پیش دانسته نویز پرسه و نویز اندازه‌گیری (Q, R) کاملاً معلوم باشند که در بیشتر کاربردهای عملی این مشخصات آماری نامعلوم‌اند. همچنین آگاهی از اطلاعات پیشین نویز پرسه و نویز اندازه‌گیری بستگی به نوع کاربرد و دینامیک پرسه دارد که بسختی به دست می‌آید. مسأله این است که الگوریتم تخمین بهینه در فیلتر کالمن، به مشخصات آماری از پیش دانسته نویز پرسه و نویز اندازه‌گیری بسیار وابسته است [۱۷، ۱۶] می‌توان نشان داد

1. Residual
2. Innovation Sequence
3. Failure

اندازه‌گيري کمتر است. با فرض اينکه ماترييس کوواريانس  $Q$  کاملاً معلوم و ثابت باشد، الگوريتمی را برای تخمين تطبيقي ماترييس کوواريانس  $R$  می‌توان به دست آورد. در اينجا الگوريتم IAE برای تطبيق ماترييس  $R$  به وسیله سистем‌هاي فازي ارائه شده است. اينde به کار رفته مانند تطبيق کوواريانس است که با تخمين تطبيقي ماترييس کوواريانس  $R$  در حين اندازه‌گيري، موجب تطبيق فيلتر می‌شود. اينde اصلی اين روش آن است که مشخصات آماري باقیمانده یا به بيان دیگر کوواريانس واقعی آماري باقیمانده را با کوواريانس تئوري‌شان نزديك کنیم. کوواريانس تئوري دنباله ابداع به صورت زير است:

$$S_k = H_k P_k^- H_k^T + R_k \quad (14)$$

اگر کوواريانس واقعی  $r_k$  با مقدار تئوري آن متفاوت باشد. آنگاه تنظيم توسط  $R$  به منظور تصحیح عدم تطابق<sup>7</sup> انجام می‌شود. برای پردازش تفاوت بین  $S_k$  و مقدار واقعی آن متغير جدیدی را تعریف می‌کنیم که اين متغير درجه تطابق نامide شده و به صورت زير است:

$$DOM_k = S_k - \hat{C}_{rk} \quad (15)$$

با داشتن دنباله ابداع  $r_i$ ، کوواريانس واقعی آن  $\hat{C}_{rk}$  به وسیله کوواريانس نمونه‌های آن از طريق متوجه‌گيري درون پنجره تخمين متحرک با اندازه  $N$  به صورت زير تخمين زده می‌شود:

$$\hat{C}_{rk} = \frac{1}{N} \sum_{i=0}^K r_i r_i^T \quad (16)$$

که  $i = k - N + 1$  اولین نمونه درون پنجره تخمين است. اندازه پنجره  $N$  به طور تجربی انتخاب می‌شود تا مشخصات آماري نرمی را نتيجه می‌دهد.

اگر مقدار  $DOM$  نزديك به صفر باشد، بدین معنا است که  $S_k$  و  $\hat{C}_{rk}$  تقریباً بر یکدیگر منطبق‌اند و هیچ تغییری لازم نیست. اگر  $DOM$  بزرگ‌تر از صفر باشد بدان

که در هر دو روش از اطلاعات جدید قابل دسترس در دنباله ابداع استفاده می‌شود. در روش اول یک بانک از فیلترهای کالمون با مدلهاي مختلف برای اطلاعات آماري فیلترها به طور موازي اجرا می‌شوند. این روش براساس بهبود عملکرد فیلتر از طریق تخمين تطبيقي اطلاعات آماري فیلتر، ماترييس  $Q$  و/أو  $R$  است که مکانیزم تطبيق بر اساس سفیدی<sup>1</sup> دنباله ابداع فیلتر کالمون با ماتريسهای  $Q$  و  $R$  در [18] را برای تطبيق فیلتر کالمون با ماتريسهای  $Q$  و  $R$  در [18] ارائه داده که عبارتند از: حداقل درشتمنایی<sup>2</sup>، بیزی<sup>3</sup>، همبستگی<sup>4</sup>، تطبيق کوواريانس<sup>5</sup>. اساس روش تطبيق کوواريانس این است که کوواريانس واقعی باقیمانده‌ها با مقدار تئوري سازگار شود.

در اين مقاله فرض می‌شود که مدل سیستم GPS و INS استفاده شده مناسب بوده بهبود سیستم تلفیق از طریق بهبود عملکرد فیلتر با تخمين تطبيقي ماتريسهای  $Q$  یا  $R$  انجام می‌شود. بدین منظور فیلتر کالمون تطبيقي فازي با درنگ ارائه شده که در آن تطبيق توسط سیستم فازی با تنظيم بي درنگ ماترييس کوواريانس نويز اندازه‌گيري  $R$  و/أو نويز پروسه  $Q$  انجام می‌شود. مهمترین امتياز کسب شده در استفاده از سیستم‌هاي فازی نسبت به روش‌هاي تطبيقي ستي، سادگي آن و همچنين امكان به کارگيري دانش بشری در باره سیستم است.

#### 4- تطبيق فیلتر کالمون با تخمين تطبيقي $R$ با فرض $Q$ ثابت توسط سیستم فازی

ماترييس کوواريانس نويز اندازه‌گيري  $R$  ، دقت اندازه‌گيري را نشان می‌دهد. بزرگی ماترييس کوواريانس  $R$  برای ديناي اندازه‌گيري بدین معنی است که اعتماد ما به

1. Whiteness
2. Mehra
3. Likelihood Maximum
4. Bayesian
5. Correlation
6. Covariance Matching

7. Mismatch

۴- اگر  $D$  ،  $PM$  آنگاه  $AdjR$  ،  $NM$  است.

۵- اگر  $D$  ،  $PH$  آنگاه  $AdjR$  ،  $NL$  است.

لازم است ذکر شود که به جای چهار سیستم فازی می‌توان یک سیستم فازی عصبی قرار داد تا مقدار بازه توابع ورودی و خروجی به طور تطبیقی تنظیم شود.

## ۵- تطبیق فیلتر کالمن با تخمین تطبیقی Q

### توسط سیستم فازی با فرض R ثابت

ماتریس کوواریانس  $Q$  نشان دهنده نامعینی در مدل پروسه است. افزایش در ماتریس کوواریانس  $Q$  بدین معنا است که ما به مدل پروسه اطمینان کمتری داریم. در [۱۸] نشان داده شده که در شرایط خاصی تخمین بهینه  $Q$  به طور تطبیقی امکان‌پذیراست که کنترل‌پذیری و نزدیک شود. بر اساس معامله  $Q$  ،  $DOM_k = S_k - \hat{C}_{rk}$  باید به طور تطبیقی به گونه‌ای تنفس کند که DOM کم شود. با توجه به این واضح است که اگر DOM مثبت باشد، باید  $Q$  افزایش یابد و در نتیجه DOM کاهش خواهد یافت. از طرف دیگر اگر DOM منفی باشد،  $Q$  باید کاهش یابد و برای  $DOM \approx 0$  لازم است  $Q$  بدون تغییر باقی بماند. با فرض اینکه ماتریس کوواریانس نویز  $R$  معلوم و ثابت باشد، الگوریتمی را برای تنظیم تطبیقی ماتریس  $Q$  می‌توان به دست آورد. ابتدا معادله را به صورت زیر بازنویسی می‌کنیم:

$$(18) \quad S_k = H_k (F_k P_k F_k^T + Q) H_k^T + R_k$$

ایده تطبیقی استفاده شده به وسیله سیستم فازی برای تنظیم تطبیقی  $Q$  به این صورت است که از معادله فوق می‌توان استنتاج کرد که تغییرات  $Q$  بر روی مقدار  $S_k$  اثر می‌گذارد. به بیان دیگر اگر  $Q$  افزایش یابد آنگاه  $S_k$  افزایش می‌یابد بعکس. بنابراین اگر عدم تطابق بین  $S_k$  و  $\hat{C}_{rk}$  مشاهده شد آنگاه تصحیح از طریق افزایش یا کاهش  $Q$  انجام می‌شود. در اینجا تنظیم تطبیقی تک تک عناصر  $Q$  مانند  $R$  کار بسیار مشکلی است. به بیانی دیگر ما قصد

معنا است که مقدار واقعی  $\hat{C}_{rk}$  کوچکتر از مقدار تئوری بوده و تنظیم لازم است. اما اگر DOM کوچکتر از صفر باشد این بدان معنا است که مقدار  $\hat{C}_{rk}$  بزرگتر از مقدار تئوری آن  $S_k$  است و نیاز به تنظیم وجود دارد.

ایده اساسی تطبیق استفاده شده به وسیله سیستم فازی برای تخمین تطبیقی  $R$  به این صورت است که از معادله (۱۴) می‌توان درک کرد که افزایش  $R$  را  $S_k$  را افزایش خواهد داد و بعکس. بنابراین  $R$  می‌تواند برای تغییر  $S_k$  مطابق با مقدار DOM به منظور کاهش اختلاف بین  $S_k$  و  $\hat{C}_{rk}$  استفاده شود. با توجه به اینکه ماتریسهای  $S_k$  ،  $R_k$  و  $\hat{C}_{rk}$  همگی هم اندازه‌اند. بنابراین تطبیق عنصر  $(i,i)$   $R_k(i,i)$  مطابق با المان  $DOM_k(i,i)$  انجام می‌شود که  $i=1,2,\dots,m$  و  $m$  اندازه بردار اندازه‌گیری  $Z_k$  است. بنابراین از سیستم فازی برای تنظیم تطبیقی  $R_k(i,i)$  می‌توان استفاده کرد که پروسه تنظیم آن به صورت زیر است:

$$(17) \quad R_{k+1}(i,i) = R_{k-1}(i,i) + AdjR_k$$

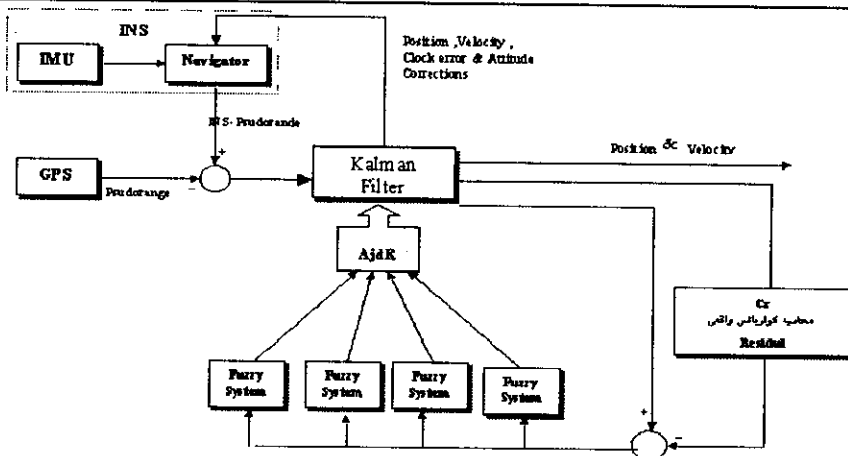
که  $AdjR_k$  ضریبی است که به  $R$  اضافه یا کم شده و خروجی سیستم فازی است. از آنجا که در تلقیق کامل چهار اندازه‌گیری وجود دارد، همانطور که از شکل ۲ مشاهده می‌شود، چهار سیستم فازی مستقل با یک ورودی و یک خروجی داریم. تعداد توابع عضویت ورودی و خروجی پنج تا و از نوع مثلثی است بنابراین تعداد قوانین هر سیستم فازی پنج است، که قوانین هر سه سیستم با یکدیگر یکسان بوده و فقط بازه ورودی و خروجی سه سیستم فازی متفاوت است. در صورتی که  $DOM(i,i) = D$  فرض کنیم، در این صورت مجموعه قواعد هر یک از سیستم‌های فازی به صورت زیر است :

[۲۰]

-۱- اگر  $D$  ،  $NL$  آنگاه  $PH$  ،  $AdjR$  است.

-۲- اگر  $D$  ،  $NM$  آنگاه  $PM$  ،  $AdjR$  است.

-۳- اگر  $D$  ،  $Z$  آنگاه  $AdjR$  ،  $Z$  است.



شکل ۲ تلفيق تطبيق فازی كامل

$H, AdjQ$  است.

- ۱ اگر  $H, D1$  و  $H, D2$  و  $L, D3$  و  $L, D4$  آنگاه  $L, AdjQ$  است.
- ۲ اگر  $M, D1$  و  $M, D2$  و  $M, D3$  و  $M, D4$  آنگاه  $M, AdjQ$  است.
- ۳ اگر  $D1, D2$  و  $D3, D4$  آنگاه  $M, AdjQ$  است.

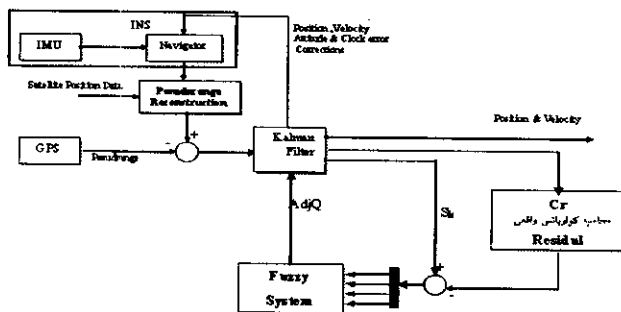
تخمين كامل  $Q$  را نداريم، بلکه هدف آن است که سистем فازی  $Q$  را طوري تنظيم کند که کواریانس واقعی باقیمانده به مقدار تنوری آن نزدیک شود. در واقع سیستم فازی اختلاف بین کواریانس واقعی باقیمانده و کواریانس تنوری آن را پردازش کرده و بر اساس قوانین موجود ماتریس  $Q$  را به صورت زیر تنظيم می کند:

$$Q_{n+1} = Q_n AdjQ \quad (14)$$

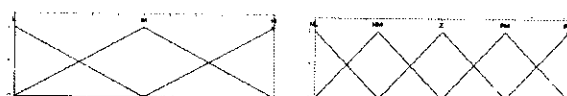
در این رابطه  $AdjQ$  خروجي سیستم فازی است. همانطور که قبله گفته شد، در تلفيق كامل، چهار اندازه گيری داریم بنابراین ابعاد ماتریس  $DOM$  در این حالت  $4 \times 4$  است که عناصر روی قطر ماتریس  $DOM$  در هر لحظه به عنوان ورودی به سیستم فازی وارد و پردازش شده و خروجی سیستم فازی ماتریس  $Q$  را تنظيم می کند. بنابراین همانطور که در شکلهاي ۳ و ۴ مشاهده می شود، سیستم فازی چهار ورودی - یک خروجي و تعداد توابع عضويت هر يك از ورودي ها و خروجي ها به ترتيب سه و پنج است. با اين شرایط سیستم فازی داراي ۸۱ قانون است.

در صورتی که  $DOM(2,2) = D2, DOM(1,1) = D1, DOM(4,4) = D4$  و  $DOM(3,3) = D3$  در نظر بگيريم، تعدادی از اين قوانین به صورت زير است [۲۰] :

- ۱ اگر  $L, D1$  و  $L, D2$  و  $L, D3$  و  $L, D4$  آنگاه



شکل ۳ تلفيق تطبيق فازی كامل

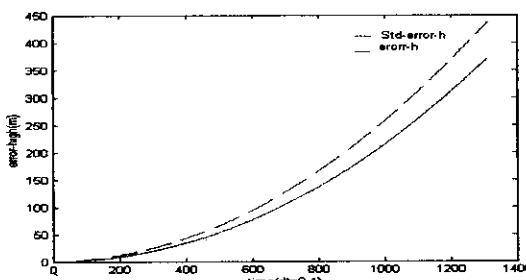


شکل ۴ توابع عضويت ورودي و خروجي

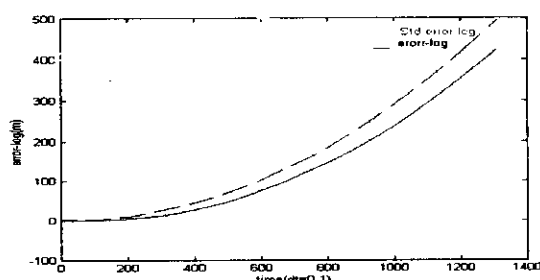
باشه توابع عضويت ورودي و خروجي با سعي وخطا به دست آمده است. نوع فازی ساز، موتور استنتاج و غير فازی ساز به ترتيب عبارتند از: فازی ساز منفرد، موتور استنتاج ضرب وغير فازی ساز ميانگين مراکز [۲۱].

ضرایب، کالیبراسیون به دست آمده و توسط این ضرایب خروجی‌های IMU جبران‌سازی شده‌اند. همچنین در لحظه پرتاب موشک دستگاه بدنی بر دستگاه ناوبری کاملاً منطبق است. بدین ترتیب برای مدلسازی خطاهای ژیروسکوپ‌ها و شتاب سنج‌ها فقط بایاس‌ها را در نظر گرفته و مقادیر آنها به صورت قدم تصادفی مدلسازی شده است. مقدار اولیه بایاس ژیروسکوپ‌ها و شتاب سنج‌ها را متغیر گاوی با میانگین صفر و انحراف استاندارد به ترتیب  $1\text{deg/h}$  و  $10\text{mg}$  در  $1\text{deg/h}$ . انحراف استاندارد نویز تحریک کننده برای ژیروسکوپ‌ها و شتاب سنجی‌ها بترتیب  $1.96 \times 10^{-14} \text{ rad}^2/\text{sec}^3$  و  $8 \times 10^{-8} \text{ m}^2/\text{sec}^5$  در نظر گرفته شده است. الگوریتم ناوبری INS، اطلاعات IMU را با نرخ  $0.1\text{s}$  ثانیه یک بار دریافت کرده و با استفاده از خروجی ژیروسکوپ‌ها، ماتریس دوران را در هر لحظه محاسبه می‌کند و سپس به منظور حل معادلات ناوبری، خروجی شتاب سنج‌ها در دستگاه ناوبری NED محاسبه می‌شوند.

انحراف استاندارد خطاهای همراه با نمونه‌ای از آن در شکل‌های ۸ تا ۱۳ رسم شده است.



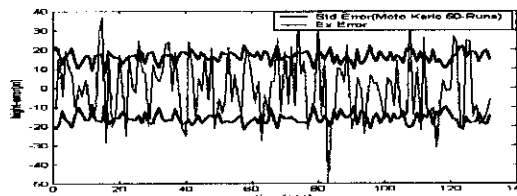
شکل ۸ خطای ارتفاع جغرافیایی و انحراف استاندارد آن



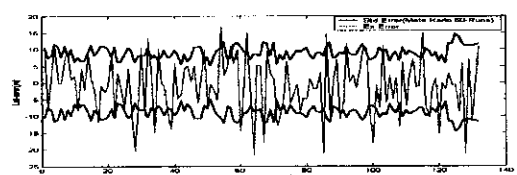
شکل ۹ خطای عرض جغرافیایی و انحراف استاندارد آن

## ۶- نتایج حاصل از یک پروفایل

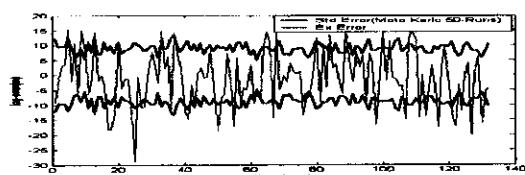
مسیر نامی که برای ناوبری در این مقاله انتخاب شده مربوط به یک موشک هوا به زمین است که رو به شمال پرتاب شده. خطای حاصل از ناوبری با GPS از نوع C/A و بدون خطای SA به صورت شکل‌های ۵ تا ۷ است:



شکل ۵ خطای ارتفاع جغرافیایی و انحراف استاندارد آن



شکل ۶ خطای عرض جغرافیایی و انحراف استاندارد آن

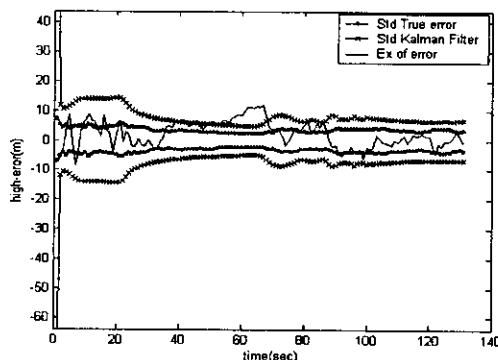


شکل ۷ خطای طول جغرافیایی و انحراف استاندارد آن

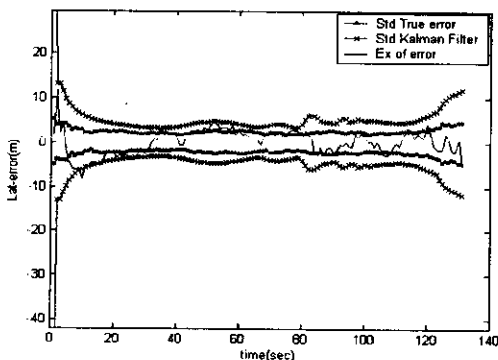
مشاهده می‌شود که انحراف استاندارد خطای ناوبری در کanal ارتفاع در حدود ۱۵ متر و انحراف استاندارد خطای ناوبری در کanal طول و عرض جغرافیایی در حدود ۱۰ متر است. نکته مهم دیگر در مورد خطاهای GPS عدم افزایش آنها با زمان است که در واقع یکی از مزایای عمدۀ این سیستم به شمار می‌رود.

INS شبیه‌سازی شده از نوع بدون صفحه پایدار است که از سه ژیروسکوپ و سه شتاب سنج تشکیل شده. به دلیل سادگی مدل جاذبه زمین در دستگاه NED دستگاه ناوبری در این دستگاه است. برای مدلسازی خطاهای ژیروسکوپ‌ها و شتاب سنج‌ها در IMU فرض می‌شود که قبل از نصب کالیبره شده باشد، یعنی توسط میز سه درجه آزادی و نرم‌افزار کالیبراسیون تست شده و

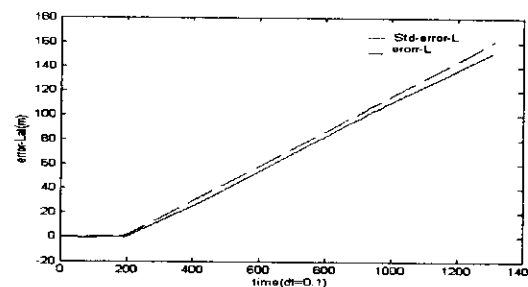
را نشان می‌دهد. در هر شکل انحراف استاندارد خطای تخمین زده شده توسط فیلتر کالمون، انحراف استاندارد واقعی خطای و یک نمونه خطای سیستم تلفیق آورده شده است. ملاحظه می‌شود که نتایج بدست آمده با تلفیق کامل نسبت به سیستم ناوبری اینرسی بهبود زیادی داشته است. از آنجا که در تلفیق کامل معادلات اندازه‌گیری و پروسه غیرخطی اند و فیلتر کالمون برای سیستم خطی شده طراحی شده، لذا انحراف استاندارد خطای تخمین زده شده توسط فیلتر کالمون با مقادیر واقعی انحراف استاندارد خطای از روش مونت کارلو با ۵۰ بار شبیه‌سازی متفاوت است. همچنین به دلیل غیرخطی بودن سیستم و شتاب‌های بالای موشک در انتهای مسیر، در انتهای ناوبری بویژه در سرعت‌های زیاد خوب نیست. در این روش نیز در صورتی که علاوه بر شبه فاصله، نرخ شبه فاصله‌ها نیز اندازه‌گیری شود، به دقت بیشتری خواهیم رسید.



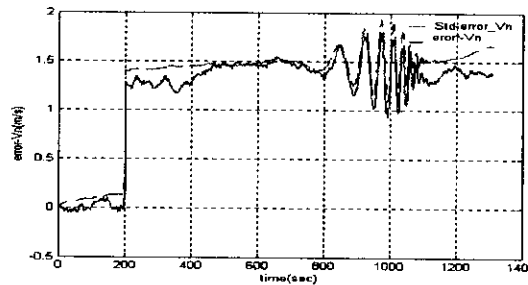
شکل ۱۴ خطای ارتفاع جغرافیایی و انحراف استاندارد آن در تلفیق GPS/INS



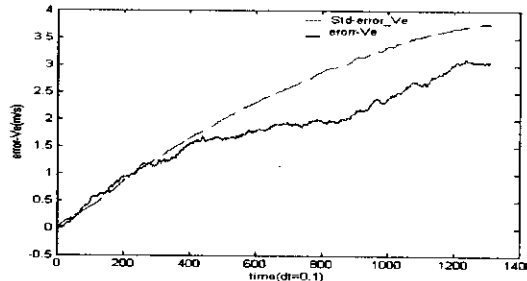
شکل ۱۵ خطای عرض جغرافیایی و انحراف استاندارد آن در تلفیق GPS/INS



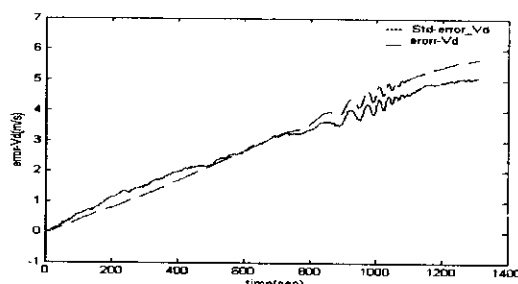
شکل ۱۰ خطای طول جغرافیایی و انحراف استاندارد آن



شکل ۱۱ خطای سرعت رو به شمال و انحراف استاندارد آن

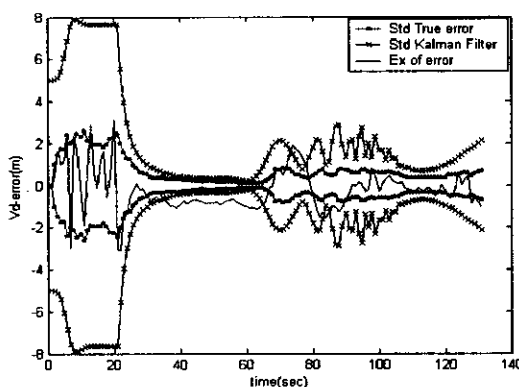


شکل ۱۲ خطای سرعت رو به شرق و انحراف استاندارد آن

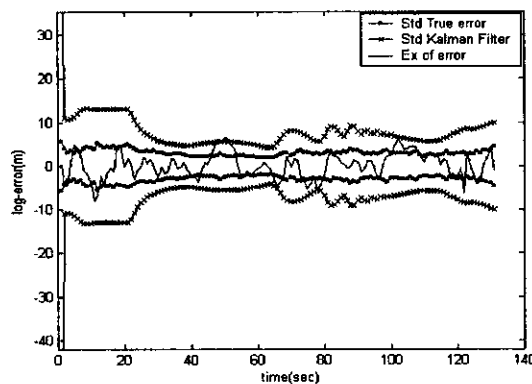


شکل ۱۳ خطای سرعت رو به پایین و انحراف استاندارد آن برای تخمین انحراف استاندارد خطاهای از ۵۰ شبیه‌سازی استفاده شده است. همانطور که از شکلها مشاهده می‌شود، تمامی خطاهای با زمان افزایش می‌یابند. به همین دلیل در بسیاری از کاربردهای بویژه در ناوبری‌های طولانی - مدت از سیستم ناوبری به تنهایی استفاده نمی‌شود.

شکل‌های ۱۴ تا ۱۹ نتایج حاصل از ناوبری تلفیق کامل

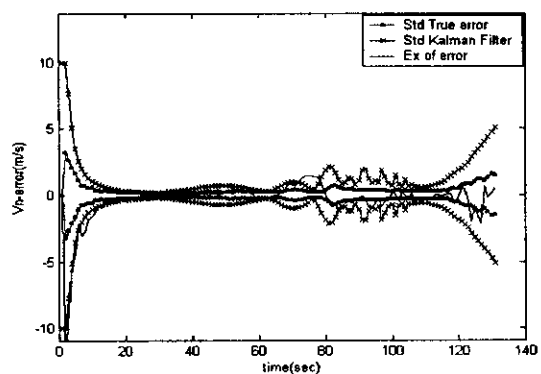


شکل ۱۵ خطای سرعت رو به پایین و انحراف استاندارد آن در تلفیق GPS/INS

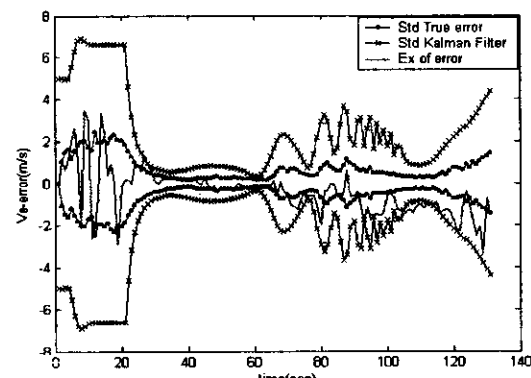


شکل ۱۶ خطای طول جغرافیایی و انحراف استاندارد آن در تلفیق GPS/INS

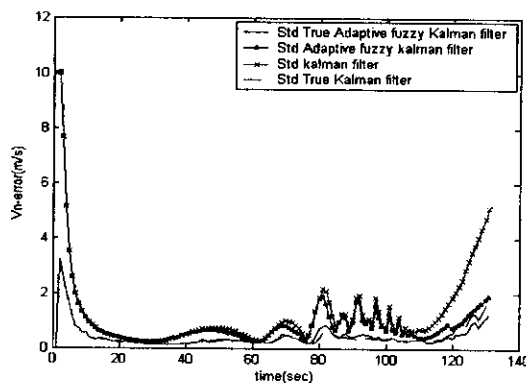
شکلهای ۲۰ تا ۲۵ خطای حاصل از نابری کامل را با فیلتر کالمن معمولی و فیلتر کالمن تطبیقی فازی - که در آن  $Q$  ثابت و  $R$  توسط سیستم فازی به صورت بی درنگ تنظیم می شود - نشان می دهد. در ابتدا تلفیق سیستم فازی خاموش است و از فیلتر کالمن ثابت (غیر تطبیقی) استفاده می شود. سیستم فازی از ثانیه ۲۵ شروع به کار و فیلتر را تطبیق می کند. طول پنجره متوجه در نظر گرفته شده برای تخمین کوواریانس واقعی باقیمانده ها است که همانطور که پیشتر گفته شد، با سعی و خطأ به دست آمده. در هر شکل انحراف استاندارد خطای تخمین زده شده توسط فیلتر کالمن قبل و بعد از تطبیق، همچنین انحراف استاندارد تخمین زده شده توسط روش مونت کارلو قبل و بعد از تطبیق، نشان داده شده است. مشاهده می شود که برخلاف فیلتر کالمن معمولی، انحراف استاندارد خطای تخمین زده شده توسط فیلتر کالمن تطبیقی فازی، به روش مونت کارلو (انحراف استاندارد واقعی) نزدیک شده است همچنین انحراف استاندارد خطای تخمین زده شده نسبت به حالت بدون تطبیق کاهش یافته است و در واقع این بدين دليل است که تنظيم تطبیقی  $R$  سبب تنظيم بهره فیلتر و در نتیجه سبب بهبود حالتهاي تخمین زده شده توسط فیلتر کالمن خواهد شد.



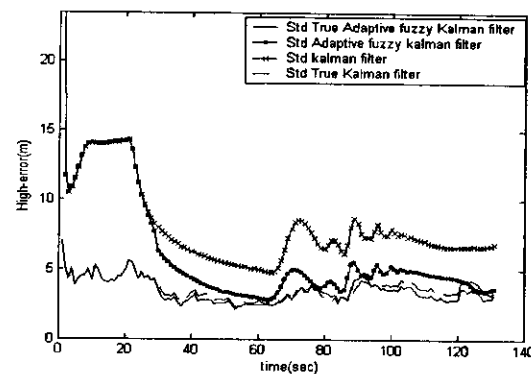
شکل ۱۷ خطای سرعت رو به شمال و انحراف استاندارد آن در تلفیق GPS/INS



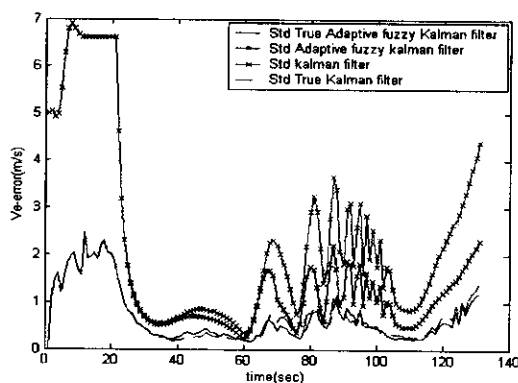
شکل ۱۸ خطای سرعت رو به شرق و انحراف استاندارد آن در تلفیق GPS/INS



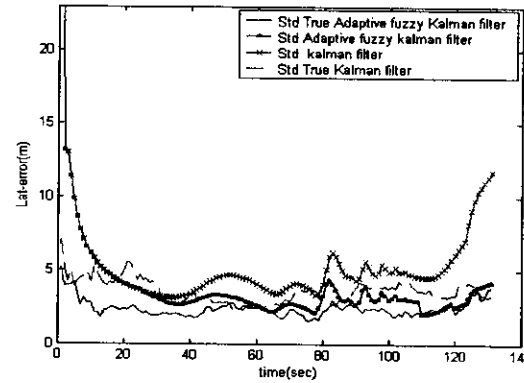
شکل ۲۳ انحراف استاندارد خطای سرعت رو به شمال در تلفیق کامل با فیلتر کالمن و فیلتر کالمن تطبیقی فازی که در آن  $Q$  ثابت است



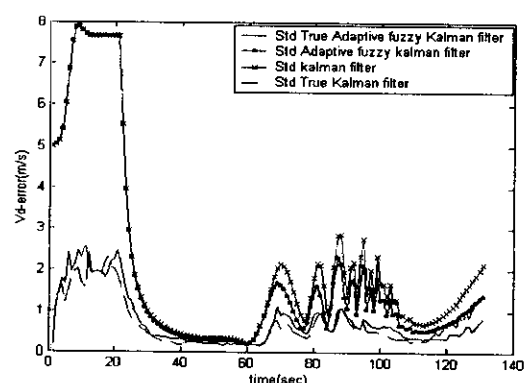
شکل ۲۰ انحراف استاندارد خطای ارتفاع جغرافیایی در تلفیق کامل با فیلتر کالمن و فیلتر کالمن تطبیقی فازی که در آن  $Q$  ثابت است.



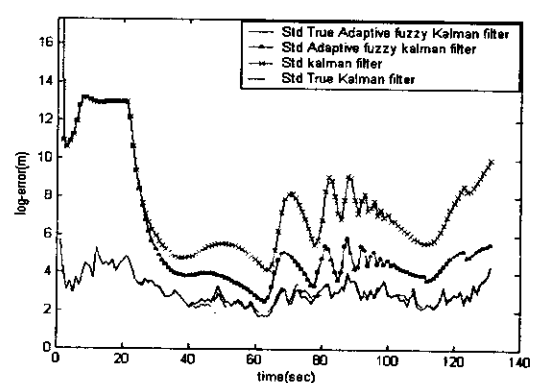
شکل ۲۴ انحراف استاندارد خطای سرعت رو به شرق در تلفیق کامل با فیلتر کالمن و فیلتر کالمن تطبیقی فازی که در آن  $Q$  ثابت است



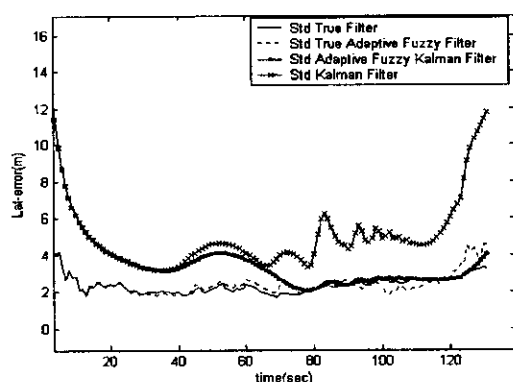
شکل ۲۱ انحراف استاندارد خطای عرض جغرافیایی در تلفیق کامل با فیلتر کالمن و فیلتر کالمن تطبیقی فازی که در آن  $Q$  ثابت است



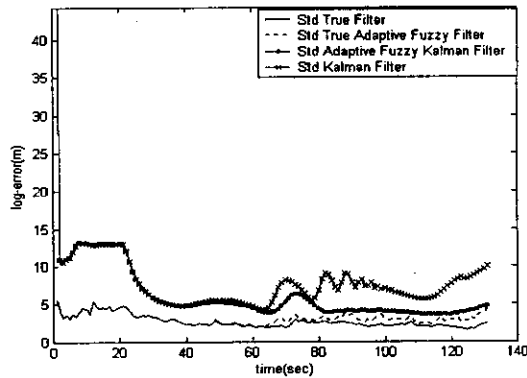
شکل ۲۵ انحراف استاندارد خطای سرعت رو به پایین در تلفیق کامل با فیلتر کالمن و فیلتر کالمن تطبیقی فازی که در آن  $Q$  ثابت است



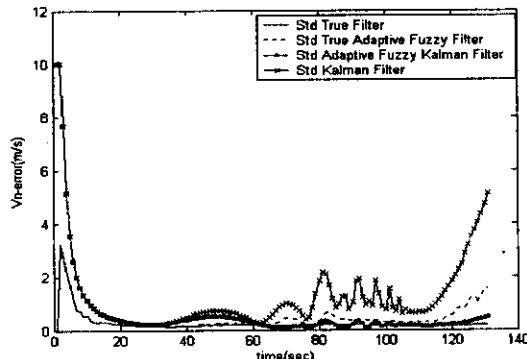
شکل ۲۲ انحراف استاندارد خطای طول جغرافیایی در تلفیق کامل با فیلتر کالمن و فیلتر کالمن تطبیقی فازی که در آن  $Q$  ثابت است



شکل ۲۷ انحراف استاندارد خطای عرض جغرافیایی در تلفیق کامل با فیلتر کالمن و فیلتر کالمن تطبیقی فازی که در آن  $R$  ثابت است

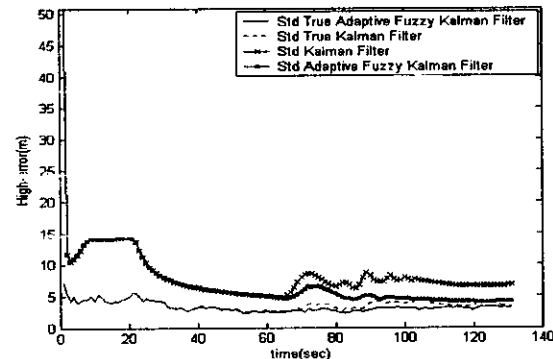


شکل ۲۸ انحراف استاندارد خطای طول جغرافیایی در تلفیق کامل با فیلتر کالمن و فیلتر کالمن تطبیقی فازی که در آن  $R$  ثابت است



شکل ۲۹ انحراف استاندارد خطای سرعت رو به شمال در تلفیق کامل با فیلتر کالمن و فیلتر کالمن تطبیقی فازی که در آن  $R$  ثابت است

شکل های ۲۶ تا ۳۱ خطای حاصل از ناویری کامل با فیلتر کالمن معمولی و فیلتر کالمن تطبیقی فازی را - که در آن  $R$  ثابت و  $Q$  توسط سیستم فازی به صورت بی درنگ تنظیم می شود - در شرایط یکسان نشان می دهد. این شکل انحراف استاندارد واقعی خطای موقعیت ها و سرعت ها و همچنین انحراف استاندارد خطای آنها را که توسط فیلتر کالمن تخمین زده شده نشان می دهد. اولین نکته این است که انحراف استاندارد خطاهای در تلفیق تطبیقی فازی کامل به طور قابل ملاحظه ای نسبت به تلفیق کامل با فیلتر کالمن کاملاً یافته است. نکته قابل توجه دیگری که از شکلها ملاحظه می شود این است که ناپایداری هایی که در پایان ناویری در سیستم ناویری تلفیقی با فیلتر کالمن داشتیم در تلفیق تطبیقی فازی بر طرف شده و خطای کلیه موقعیت ها و سرعت ها در تلفیق تطبیقی فازی پایدار است. همچنین پاسخ ها در مقایسه با روش تطبیقی قبلی - که در آن  $Q$  ثابت بود - بهتر است. اما مانند روش قبل انحراف استاندارد خطای تخمین زده شده توسط فیلتر کالمن تطبیقی فازی با انحراف استاندارد واقعی خطای به یکدیگر نزدیک‌اند در واقع در این حالت خطای واقعی با خطای تخمین زده شده توسط فیلتر کالمن یکسان است.

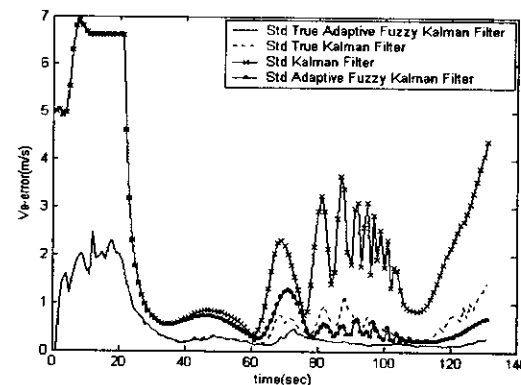


شکل ۳۶ انحراف استاندارد خطای ارتفاع جغرافیایی در تلفیق کامل با فیلتر کالمن و فیلتر کالمن تطبیقی فازی که در آن  $R$  ثابت است

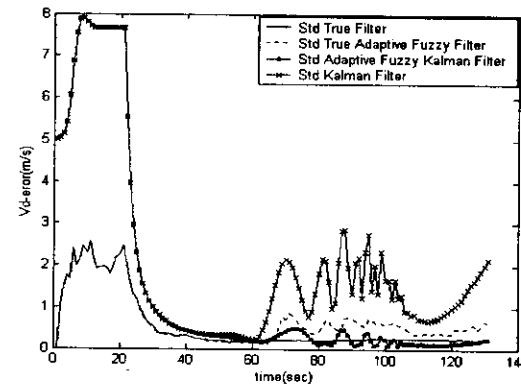
پیشنهاد شد که سیستم فازی به طور بی درنگ ماتریسهای  $R$  را طوری تنظیم می کندکه فیلتر تلفیق عملکرد بهینه‌ای داشته باشد. نتایج شبیه‌سازی‌ها نشان می‌دهد که این حالت نسبت به فیلتر کالمن معمولی که در آن  $Q$  و  $R$  ثابت‌اند، بهبود یافته است.

## ۸- منابع

- [1] Ohlmeyer E.S.; Perpiton T.R.; Miller B.L.; "GPS-Aided Navigation System Requirements For Smart Munitions And Guided Missiles"; Proceedings of AIAA Guidance, Navigation, and Control Conference; New Rleans, 1997; pp.954-968.
- [2] Zhu Bo; Fan Yaozu; "The Optimal Integrated GPS/INS"; Department of Automatic and Control Beijing University of Aeronautics and Astronautic
- [3] Ren DA; Ching-Fang Lin; "A New Failure Detection Approach and Its Application to GPS Autonomous Integrity Monitoring"; IEEE Trans on Aerospace and Electronic Systems; Vol.31 No. Jan 1995.
- [4] Evant C.C.; Robert R.; "The Design and Analysis of Integrated Navigation Using Real INS and GPS Data"; Air Force Insitute of Technology.
- [5] Ohlmeyer E.S.; ,Perpiton T.R.; Miller B.L.; "Assessment of Integrated GPS/INS for the Ex-171 Extended Rang Guided Munition"; <http://www.aerotechnology.com>, 2000.
- [6] Xiufeng H; Young Chen; "A Reduced-Order Model for Integrated GPS/INS"; IEEE AES System Magazine.1998.
- [7] Schwarz K.P.; Wei M.; "Aided Versus Embedded A Comparison of Two Approaches to GPS/INS Integration"; IEEE Position ,Location and Navigation Symposium; 1994; PP 314-322.



شکل ۳۰ انحراف استاندارد خطای سرعت رو به شرق در تلفیق کامل با فیلتر کالمن و فیلتر کالمن تطبیقی فازی که در آن  $R$  ثابت است



شکل ۳۱ انحراف استاندارد خطای سرعت رو به پایین در تلفیق کامل با فیلتر کالمن و فیلتر کالمن تطبیقی فازی که در آن  $R$  ثابت است

## ۷- نتیجه‌گیری

در این مقاله پس از شبیه سازی GPS و INS ، مسیر یک موشک زمین به هوا با آنها ناوبری شد. نتایج نشان داد که خطای سیستم INS بر خلاف سیستم GPS - که خطای آن محدود است - با گذشت زمان افزایش می‌یابد. سیستم GPS با توجه به خواص مکمل آن، بهترین سیستم کمکی برای بهبود دقت INS است. بدین منظور تلفیق کامل INS و GPS شبیه سازی و پیاده‌سازی شد. خطای ناوبری موقعیت و سرعت سیستم تلفیق کامل INS و GPS نسبت به INS به طور قابل ملاحظه‌ای بهبود یافته است. در انتها یک فیلتر کالمن تطبیقی فازی بهبود سیستم تلفیق کامل

- Kalman Filtering-Fuzzy Logic Architecture for Multisensor Data Fusion”; Proc of The IEEE; 2001; PP.364-369.
- [16] Mehra R.K.; “On the Identification of Variance and Adaptive Kalman Filtering”; IEEE Trans, Automatic Control; 1970; Vol. AC-15.
- [17] Fitzgerald R. J.; “Divergence of the Kalman Filter”; IEEE Trans Automatic Control; 1971; Vol AC-16,NO.6,PP.736-747.
- [18] Mehra R.K.; “Approaches to Adaptive Filtering”; IEEE Trans of Automatic Control; Oct 1972; PP. 693-698.
- [19] Escamilla P.J.; Mort N.; “Adaptive Kalman Filtering Through Fuzzy Logic”; Proc. Of the 7<sup>th</sup> UK Workshop On Fuzzy Systems; Whilow Grange Conferencecente, Sheffield; 2000; PP. 67-73.
- [۲۰] رمضان هاونگی؛ ”تلقیق GPS/INS و بهبود عملکرد آن با فیلتر کالمن تطبیقی فازی؛ پایان نامه کارشناسی ارشد مهندسی کنترل؛ دانشگاه صنعتی خواجه نصیر الدین توosi؛ ۱۳۸۱.
- [21] Wang; A Course in Fuzzy System and Control; 1997.
- [8] Knight D.T; “Rapiad Development of Tightly-Coupled GPS/INS Systemes”; Proce of IEEE PLANS ,Position Location and Navigation Symposium; 1996; PP. 300-305.
- [9] Karasindes S.; “Enhacing Filter Robustness in Cascaded GPS-INS Integrations”; IEEE Trans On Aerospace and Electronic Systems; Vol.30,No.4 Oct 1994.
- [10] Feng W.; Yang S.; Zhao F.; “Adaptive Filtering Algoritm to GPS/INS Integrated Sysyem”; Proce IEEE; 2001; PP.352-356.
- [11] Mohamed A.H.; Shwarz K.P.; “Adaptive Kalman Filtering For INS/GPS”; Journal of Geoudesy; 1999; Vol.73, No.4,PP.193-203.
- [12] Titterton D.H.; Weston J.L; “Strapdown Inertial Navigation Technology”; 1997.
- [13] Maybeck P.S.; “Stochastic Models Estimation and Control; Vol 1,2; Academic Press; New York; 1994.
- [14] Escamilla P.J; Mort N.; “Multisensor Data Fusion Architechture Based on Adapive Kalman Filters and Fuzzy Logic Performance Assessment”; Proc IEEE; 2002; PP.1542-1549.
- [15] Escamilla P.J.; Mort N.; “A Hybrid